

Controle Ótimo \mathcal{H}_∞

1. Controle \mathcal{H}_∞ e robustez
2. Controle ótimo \mathcal{H}_∞ por Riccati
3. Controle ótimo \mathcal{H}_∞ por LMI
 - 3.1. Realimentação de estado
 - 3.2. Estabilidade quadrática e condições relaxadas
 - 3.3. Patologia no controle \mathcal{H}_∞ : altos ganhos
 - 3.4. Realimentação de saída
4. Controle Misto $\mathcal{H}_2/\mathcal{H}_\infty$

Controle \mathcal{H}_∞ e robustez

Afinal como é o problema de controle \mathcal{H}_∞ ? Neste tipo de estratégia, o ganho induzido \mathcal{L}_2 da entrada de distúrbios para a saída controlada é utilizado como a “medida” de desempenho e robustez do sistema em malha fechada. Como a norma \mathcal{H}_∞ , que é o ganho induzido \mathcal{L}_2 , é o valor de pico (pior caso) na resposta em freqüência no diagrama de valores singulares, pode-se concluir que a sua minimização implica em atenuar a relação entrada-saída, ie o efeito da entrada de distúrbio na saída controlada

- O controle ótimo \mathcal{H}_∞ pode ser interpretado como sendo o controlador que “achata” a resposta em freqüência em malha fechada, ie minimiza a relação de pior caso entrada-saída (distúrbio-saída controlada) ...

Controle \mathcal{H}_∞ e robustez

Controle $\mathcal{H}_2 \times \mathcal{H}_\infty$ Ao contrário do projeto de controle \mathcal{H}_2 , que mostra-se apropriado a tratar distúrbios com características estocásticas, a escolha de um controlador \mathcal{H}_∞ pode ser **bem mais conveniente**, no sentido de tornar o sistema mais “robusto” frente a sinais exógenos de características tanto determinísticas como “desconhecidas” (energia limitada)

- Propriedades extras do controle \mathcal{H}_∞ : especificações no domínio da freqüência como largura de banda passante e ganho em baixa freqüência

Robustez? O termo robusto assume no controle \mathcal{H}_∞ duas interpretações

1. Incertezas no modelo (assim como no controle \mathcal{H}_2)
2. Incertezas associadas ao sinal de distúrbio

Controle ótimo \mathcal{H}_∞ por Riccati

$$\Sigma : \begin{cases} \dot{x}(t) = Ax(t) + B_u u(t) + B_w w(t) \\ z(t) = C_z x(t) + D_{zu} u(t) + D_{zw} w(t) \\ y(t) = C_y x(t) + D_{yw} w(t) \end{cases}$$

com as mesmas hipóteses para o controle \mathcal{H}_2 :

- (A, B_u) é estabilzável e (A, C_y) é detectável

- D_{zu} é injetiva e D_{yw} é sobrejetiva

- $\begin{bmatrix} A - j\omega I & B_u \\ C_z & D_{zu} \end{bmatrix}$ é injetiva, $\forall \omega \in \mathbb{R}$

- $\begin{bmatrix} A - j\omega I & B_w \\ C_y & D_{yw} \end{bmatrix}$ é sobrejetiva, $\forall \omega \in \mathbb{R}$

Controle ótimo \mathcal{H}_∞ por Riccati

Teorema $\exists K(s) \in \{K(s) \mid T_{zw} \text{ é internamente estável } \|T_{zw}\|_\infty < \gamma\}$

se e somente se todas as condições a seguir são satisfeitas

1. $\exists P = P^T \succeq 0$ satisfazendo a Riccati

$$A_p^T P + P A_p - P \left(B_u R^{-1} B_u^T - \gamma^2 B_w B_w^T \right) P + C_z^T \Phi C_z = 0$$

sendo $A_p \triangleq A - B_u R^{-1} D_{zu}^T C_z$, $R \triangleq D_{zu}^T D_{zu}$, $\Phi \triangleq I - D_{zu} R^{-1} D_{zu}^T$

~ $\rightsquigarrow A_c \triangleq A_p - B_u R^{-1} B_u^T P + \gamma^{-2} B_w B_w^T P$ é **estável**

Controle ótimo \mathcal{H}_∞ por Riccati

2. $\exists Q = Q^T \succeq \mathbf{0}$ satisfazendo a Riccati

$$A_s Q + Q A_s^T - Q \left(C_y^T S^{-1} C_y - \gamma^2 C_z^T C_z \right) Q + B_w \Psi B_w^T = \mathbf{0}$$

sendo $A_s \triangleq A - B_w D_{yw}^T S^{-1} C_y$, $R \triangleq D_{yw} D_{yw}^T$, $\Psi \triangleq \mathbf{I} - D_{yw}^T S^{-1} D_{yw}$

~ $\rightsquigarrow A_f \triangleq A_s - Q C_y^T S^{-1} C_y + \gamma^{-2} Q C_z^T C_z$ é estável

3. $\lambda_{max}(PQ) < \gamma^{-2}$

Controle ótimo \mathcal{H}_∞ por Riccati

- ~ Em caso afirmativo o controlador é descrito por $K(s) = \tilde{C} (sI - \tilde{A})^{-1} \tilde{B}$, sendo

$$\begin{aligned}\tilde{A} &\triangleq A_c + Z_\infty L_\infty (C_y - \gamma^{-2} D_{yw} B_w^T P) \\ \tilde{B} &\triangleq -Z_\infty L_\infty \\ \tilde{C} &\triangleq -R^{-1} (B_u^T P - D_{zu}^T C_z) \\ Z_\infty &\triangleq (I - \gamma^{-2} Q P)^{-1} \\ L_\infty &\triangleq - (Q C_y^T - B_w^T D_{yw}^T) S^{-1}\end{aligned}$$

- A condição (3) garante que Z_∞ é invertível
- Ao contrário da controle \mathcal{H}_2 , a condição (3) **impede a aplicação do princípio da separação** no controle \mathcal{H}_∞ por realimentação de saída ...

Controle ótimo \mathcal{H}_∞ por LMI: realimentação de estados

$$\left\{ \begin{array}{lcl} \delta[x(t)] & = & Ax(t) + B_u u(t) + B_w w(t) \\ z(t) & = & C_z x(t) + D_{zu} u(t) + D_{zw} w(t) \\ y(t) & = & \mathsf{I}x(t), \quad u(t) = Ky(t) \end{array} \right.$$

\Updownarrow Malha fechada

$$\left\{ \begin{array}{lcl} \delta[x(t)] & = & \underbrace{(A + B_u K)}_{\mathbf{A}_f} x(t) + B_w w(t) \\ z(t) & = & \underbrace{(C_z + D_{zu} K)}_{\mathbf{C}_f} x(t) + D_{zw} w(t) \end{array} \right.$$

\Updownarrow

$$T_{zw}(\xi) = \left[\begin{array}{c|c} A_f & B_w \\ \hline C_f & D_{zw} \end{array} \right], \quad \xi = s, z$$

Controle ótimo \mathcal{H}_∞ por LMI: realimentação de estados

- De forma similar a metodologia utilizada no controle \mathcal{H}_2 , obtém-se o controlador a partir de um resultado de análise, no caso o **Bounded Real Lemma**:

BRL A_f é estável e $\|z\|_2 \leq \gamma \|w\|_2$ sse $\exists P = P^T \succ 0$ satisfazendo

$$\begin{bmatrix} A_f^T P + PA_f & PB_w & C_f^T \\ B_w^T P & -\gamma^2 I & D_{zw}^T \\ C_f & D_{zw} & -I \end{bmatrix} \prec 0$$

Controle ótimo \mathcal{H}_∞ por LMI: realimentação de estados

- Substituindo A_f e C_f , pré- e pós-multiplicando por diag $\{P^{-1}, \mathbf{I}, \mathbf{I}\}$ e definindo-se $X \triangleq P^{-1}$ e $Z \triangleq KP^{-1}$ obtém-se

$$\begin{bmatrix} AX + XA^T + B_u Z + Z^T B_u^T & B_w & XC_z^T + Z^T D_{zu}^T \\ B_w^T & -\gamma^2 \mathbf{I} & D_{zw}^T \\ C_z X + D_{zu} Z & D_{zw} & -\mathbf{I} \end{bmatrix} \prec 0$$

Controle ótimo \mathcal{H}_∞ por LMI: realimentação de estados

Portanto o problema de controle ótimo \mathcal{H}_∞ pode ser colocado da seguinte forma

$$\left\{ \begin{array}{ll} \min_{X, \rho} & \rho \quad (\rho \triangleq \gamma^2) \\ \text{s.a} & X = X^T \succ 0 \\ & \begin{bmatrix} AX + XA^T + B_u Z + Z^T B_u^T & B_w & XC_z^T + Z^T D_{zu}^T \\ B_w^T & -\rho I & D_{zw}^T \\ C_z X + D_{zu} Z & D_{zw} & -I \end{bmatrix} \prec 0 \end{array} \right.$$

onde $K = ZX^{-1}$ e $\|T_{zw}\|_\infty = \sqrt{\rho} = \gamma$

Estabilidade quadrática e condições relaxadas

- A versão discreta é obtida seguindo os mesmos passos e considerando o **Bounded Real Lemma** discreto. Portanto a solução ótima do problema de controle \mathcal{H}_∞ é da forma:

$$\left\{ \begin{array}{ll} \min_{X, \rho} & \rho \quad (\rho \triangleq \gamma^2) \\ \text{s.a.} & \begin{bmatrix} X & 0 & XA^T + Z^T B_u^T & XC_z^T + Z^T D_{zu}^T \\ 0 & I & B_w^T & D_{zw}^T \\ AX + B_u Z & B_w & X & 0 \\ C_z X + D_{zu} Z & D_{zw} & 0 & \rho I \end{bmatrix} \succ 0 \end{array} \right.$$

onde $K = ZX^{-1}$ e $\|T_{zw}\|_\infty = \sqrt{\rho} = \gamma$

Estabilidade quadrática e condições relaxadas

Incertezas limitadas em norma No controle \mathcal{H}_∞ , a maior parte das abordagens por Riccati, bem como uma parte por LMI, trataram incertezas do tipo limitas em norma. Portanto não é difícil encontrar uma série de referências a respeito

Incertezas Politópicas Considerando estabilidade quadrática, basta tomar os vértices do politopo, tanto no caso contínuo como no caso discreto

Condições relaxadas? Aplicar diretamente o Lema Projetivo Recíproco no caso de controle \mathcal{H}_∞ para sistemas a tempo contínuo, infelizmente gera desigualdades não-lineares... Porém pode-se utilizar um método iterativo para resolvê-lo

- Já no caso a tempo discreto, isto não é um problema...

Controle \mathcal{H}_∞ contínuo: condições relaxadas

Referência J. Wang and D. A. Wilson, "Continuous-time $\mathcal{H}_2/\mathcal{H}_\infty$ control with non-common Lyapunov variables via convergent iterations", *Proceedings of the 2003 European Control Conference*, Oxford, UK.

Usando a LMI do BRL como ponto de partida:

$$\begin{bmatrix} A_f^T Y + Y A_f & Y B_w & C_f^T \\ B_w^T Y & -\gamma^2 I & D_{zw}^T \\ C_f & D_{zw} & -I \end{bmatrix} \prec 0$$

e aplicando o Lema Projetivo Recíproco $\Psi = 0$ e $S = Y A_f$ obtém-se

$$\begin{bmatrix} P - (W + W^T) & * & * & * \\ Y A_f + W & -Y & * & * \\ B_w^T Y & 0 & -I & * \\ C_f & 0 & D_{zw} & -\gamma^2 I \end{bmatrix} \prec 0$$

Controle \mathcal{H}_∞ contínuo: condições relaxadas

Aplicando a transformação de similaridade

$$\begin{bmatrix} V^T & 0 & 0 & 0 \\ 0 & X & 0 & 0 \\ 0 & 0 & I & 0 \\ 0 & 0 & 0 & I \end{bmatrix}$$

com $V \triangleq W^{-1}$, e definindo $P \triangleq X^{-1} \triangleq Y$ obtém-se

$$\begin{bmatrix} V^T Y V - (V^T + V) & * & * & * \\ A_f V + X & -X & * & * \\ B_w^T Y_1 i V & 0 & -I & * \\ C_f V & 0 & D_{zw} & -\gamma^2 I \end{bmatrix} \prec 0 \quad (1)$$

Controle \mathcal{H}_∞ contínuo: condições relaxadas

que pode ser reescrita como

$$\Upsilon + \begin{bmatrix} V^T \\ 0 \\ B_w^T \\ 0 \end{bmatrix} X^{-1} \begin{bmatrix} V & 0 & B_w & 0 \end{bmatrix} \prec 0 \quad (2)$$

com

$$\Upsilon = \begin{bmatrix} -(V^T + V) & * & * & * \\ A_f V + X & -X & * & * \\ 0 & 0 & -I - B_w^T X^{-1} B_w & * \\ C_f V & 0 & D_{zw} & -\gamma^2 I \end{bmatrix} \quad (3)$$

Controle \mathcal{H}_∞ contínuo: condições relaxadas

Aplicando o complemento de Schur ...

$$\begin{bmatrix} -(V^T + V) & * & * & * & * \\ A_f V + X & -X & * & * & * \\ 0 & 0 & -I - \Phi & * & * \\ C_f V & 0 & D_{zw} & -\gamma^2 I & * \\ V & 0 & B_w & 0 & -X \end{bmatrix} \prec 0 \quad (4)$$

Nas desigualdades acima o termo Φ é um limitante superior para o termo não-linear $-B_w^T X^{-1} B_w$ que pode se minimizado recursivamente fazendo

$$L = X^{-1} B_w$$

sendo X a matriz calculada na interação anterior. O cálculo recursivo inicia-se com algum X , solução de um problema de controle \mathcal{H}_∞ convencional, como já apresentado neste bloco

Controle \mathcal{H}_∞ discreto: condições relaxadas

Novamente BRL discreto A_f é estável e $\|z\|_2 < \gamma \|w\|_2$ sse $\exists X = X^T :$

$$\begin{bmatrix} X & 0 & XA_f^T & XC_f^T \\ 0 & I & B_w^T & D_{zw}^T \\ A_f X & B_w & X & 0 \\ C_f X & D_{zw} & 0 & \gamma^2 I \end{bmatrix} \succ 0$$

$$\Leftrightarrow V = V^T = X$$

$$\begin{bmatrix} V^T X^{-1} & * & * & * \\ 0 & I & * & * \\ 0 & 0 & I & * \\ 0 & 0 & 0 & I \end{bmatrix} \begin{bmatrix} X & 0 & XA_f^T & XC_f^T \\ 0 & I & B_w^T & D_{zw}^T \\ A_f X & B_w & X & 0 \\ C_f X & D_{zw} & 0 & \gamma^2 I \end{bmatrix} \begin{bmatrix} X^{-1}V & * & * & * \\ 0 & I & * & * \\ 0 & 0 & I & * \\ 0 & 0 & 0 & I \end{bmatrix} \succ 0$$

Controle \mathcal{H}_∞ discreto: condições relaxadas

$$\Updownarrow \begin{bmatrix} -V^T X V & 0 & V^T A_f^T & V^T C_f^T \\ 0 & -I & B_w^T & D_{zw}^T \\ A_f V & B_w & -X & 0 \\ C_f V & D_{zw} & 0 & -\gamma^2 I \end{bmatrix} \prec 0$$

$$\Updownarrow -V^T X^{-1} V \preceq -(V + V^T - X)$$

$$\begin{bmatrix} V + V^T - X & 0 & V^T A_f^T & V^T C_f^T \\ 0 & I & B_w^T & D_{zw}^T \\ A_f V & B_w & X & 0 \\ C_f V & D_{zw} & 0 & \gamma^2 I \end{bmatrix} \succ 0$$

Síntese? Basta substituir A_f e C_f e definir $Z \triangleq KV$

Controle \mathcal{H}_∞ discreto: condições relaxadas

Para $A \in \mathcal{P}_A \triangleq \{A \mid A = \sum_{i=1}^q \xi_i A_i, \xi_i \geq 0, \sum_{i=1}^q \xi_i = 1\}$ e $B_u \in \mathcal{P}_{B_u} \triangleq \{B_u \mid B_u = \sum_{j=1}^r \tau_j B_{uj}, \tau_j \geq 0, \sum_{j=1}^r \tau_j = 1\}$, o problema de **controle robusto** com custo garantido \mathcal{H}_∞ é descrito por:

$$\left\{ \begin{array}{ll} \min_{X, \rho} & \rho \quad (\rho \triangleq \gamma^2) \\ \text{s.a} & \begin{bmatrix} V + V^T - X_{ij} & 0 & V^T A_i^T + Z^T B_{uj}^T & V^T C_z^T + V^T D_{zu}^T \\ 0 & I & B_w^T & D_{zw}^T \\ A_i V + B_{uj} Z & B_w & X_{ij} & 0 \\ C_z V + D_{zu} V + & D_{zw} & 0 & \rho I \end{bmatrix} \succ 0 \end{array} \right.$$

onde $K = ZV^{-1}$ e $\|T_{zw}\|_\infty = \sqrt{\rho} = \gamma$

Caso patológico no controle \mathcal{H}_∞ : altos ganhos

Patologias No controle \mathcal{H}_∞ , eventualmente pode-se obter como controlador ótimo em realimentação de estado um ganho da forma

$$\|K_i\| \rightarrow K_{\text{ótimo}} \rightarrow \infty, \quad \text{quando} \quad \gamma_i \rightarrow \gamma_{\text{ótimo}}$$

ie, para atingir o valor ótimo de atenuação de distúrbios ótimo $\gamma_{\text{ótimo}}$, é necessário aproximá-lo por uma seqüência de altos ganhos, K_i

- Por que? A explicação para esta pergunta pode ser encontrada na referência abaixo:

Referência R. M. Palhares, S. L. C. Oliveira, and P. L. D. Peres. "Relating two different approaches of \mathcal{H}_∞ state feedback control". *Revista Brasileira de Controle & Automação*. 9(2), pp. 77-84, 1998. URL: http://www.fee.unicamp.br/revista_sba/

Solução? Impor uma restrição de positividade na matriz que compõe o ganho K . Por exemplo, para $K = ZX^{-1}$, basta impor $X = X^T \succ \varepsilon I$, $\varepsilon > 0$ (eg $\varepsilon = 10^{-4}$)

Realimentação de saída no controle \mathcal{H}_∞

Segue os mesmos passos como no controle \mathcal{H}_2 . Há exatamente as mesmas mudanças de variáveis e transformações de similaridade. Diferenças?

1. As condições relaxadas utilizando o Lema Projetivo Recíproco aplicada ao caso contínuo também introduz um procedimento recursivo como anteriormente
2. Aplica-se ao discreto as condições relaxadas da mesma forma
3. Incertezas politópicas? Não é tão evidente, ao menos que se faça imposições sobre a matriz de Lyapunov do sistema aumentado (eg bloco diagonal), já que o princípio da separação não é aplicado ao controle \mathcal{H}_∞ ...
4. Por outro lado, uma infinidade de referências com abordagens para sistemas com incertezas limitadas em norma pode ser obtida para a síntese de controladores dinâmicos

Realimentação de saída no controle \mathcal{H}_∞

Variáveis matriciais: $S_{11}, P_{11}, \mathcal{A}, \mathcal{B}, \mathcal{C}, \mathcal{D}$ e J

$$\left\{ \begin{array}{ll} \min & \delta \\ \text{s.a} & \begin{aligned} & \delta \triangleq \gamma^2 \\ & \begin{bmatrix} S_{11} & \mathbf{I} \\ \mathbf{I} & P_{11} \end{bmatrix} \succ 0 \\ & \begin{bmatrix} \Pi & * & * & * \\ \mathcal{A} + A^T + C_y^T \mathcal{D}^T B_u^T & \Xi & * & * \\ B_w^T + D_{yw}^T \mathcal{D}^T B_u^T & B_w^T P_{11} + D_{yw}^T \mathcal{B}^T & -\delta I & * \\ C_z S_{11} + D_{zu} \mathcal{C} & C_z + D_{zu} \mathcal{D} C_y & \Lambda & -\mathbf{I} \end{bmatrix} \prec 0 \end{aligned} \end{array} \right.$$

sendo $\Pi \triangleq A S_{11} + S_{11} A^T + B_u \mathcal{C} + \mathcal{C}^T B_u^T$,

$\Xi \triangleq A^T P_{11} + P_{11} A + \mathcal{B} C_y + C_y^T \mathcal{B}^T$ e $\Lambda \triangleq D_{zw} + D_{zu} D_c D_{yw}$

Realimentação de saída no controle \mathcal{H}_∞

Reconstrução do controlador $K(s)$ Obtenha as matrizes não-singulares P_{12} e S_{12} da decomposição:

$$P_{12}S_{12}^T = \mathbf{I} - P_{11}S_{11}$$

1. $D_c = \mathcal{D}$
2. $C_c = (\mathcal{C} - D_c C_y S_{11}) (S_{12}^T)^{-1}$
3. $B_c = P_{12}^{-1} (\mathcal{B} - P_{11} B_c D_c)$
4. $A_c = P_{12}^{-1} (\mathcal{A} - P_{11} (A + B_u D_k C_y) S_{11} - P_{12} B_c (S_{11} - P_{11} B_u C_c S_{12}^T) (S_{12}^T)^{-1}$

Controle misto $\mathcal{H}_2/\mathcal{H}_\infty$

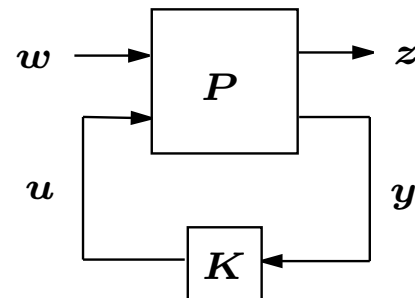
Principal vantagem do controle misto $\mathcal{H}_2/\mathcal{H}_\infty$ levar em consideração as duas principais características de qualquer projeto de controle:

1. Otimizar o desempenho do sistema
2. Garantir robustez

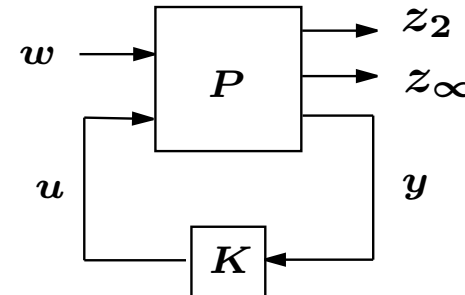
Como agir? acomodar no mesmo projeto estes dois aspectos através das normas \mathcal{H}_2 e \mathcal{H}_∞

↪ Por exemplo, minimizar a norma \mathcal{H}_2 garantindo um nível de atenuação de distúrbios \mathcal{H}_∞ dado por γ para a função de transferência de w para z , T_{zw}

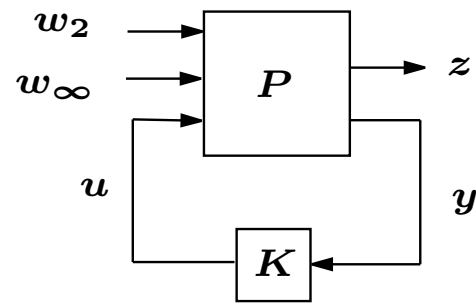
Controle misto $\mathcal{H}_2/\mathcal{H}_\infty$



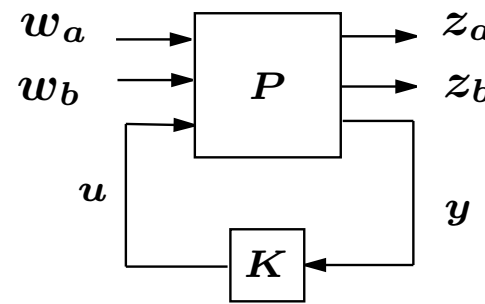
(a)



(b)



(c)



(d)

Planta generalizada com múltiplos canais

Controle misto $\mathcal{H}_2/\mathcal{H}_\infty$

Para a planta generalizada com múltiplos canais da figura anterior

- a. Considerar controle misto para a planta generalizada com um canal (ie uma entrada e uma saída), é conhecido como controle central $\mathcal{H}_2/\mathcal{H}_\infty$, para o qual se minimiza a norma \mathcal{H}_2 de w para z , ao mesmo tempo garantido um nível de atenuação de distúrbios \mathcal{H}_∞ para o mesmo canal
- b. Controle misto biobjetivo $\mathcal{H}_2/\mathcal{H}_\infty$, onde se minimiza a norma \mathcal{H}_2 do canal w para z_2 e garante-se um nível de atenuação de distúrbios \mathcal{H}_∞ do canal w para z_∞
- c. Este padrão é bastante definido para problemas de filtragem mista $\mathcal{H}_2/\mathcal{H}_\infty$, onde o sinal de distúrbio representa um papel primordial

Controle misto $\mathcal{H}_2/\mathcal{H}_\infty$

d. Controle multiobjetivo para dois ou mais canais

↪ Controle misto $\mathcal{H}_2/\mathcal{H}_\infty$, minimizando a norma \mathcal{H}_2 do canal w_a para z_a e garante-se um nível de atenuação de distúrbios \mathcal{H}_∞ do canal w_b para z_b ? Veja

Referência E. N. Gonçalves, R. M. Palhares and R. H. C. Takahashi. “Robust $\mathcal{H}_2/\mathcal{H}_\infty$ control synthesis based on controller parameter optimization”. *IEE Proceedings on Control Theory & Applications*. **152 (2)** pp. 171-176, 2005

Referência R. H. C. Takahashi, R. M. Palhares, D. A. Dutra and L. P. S. Gonçalves. “Estimation of Pareto sets in the mixed $\mathcal{H}_2/\mathcal{H}_\infty$ control problem”. *International Journal of Systems Science*. **35 (1)** pp. 55-67, 2004

Referência C. W. Scherer, P. Gahinet and M. Chilali. “ Multiobjective output-feedback control via LMI optimization”. *IEEE Transactions on Automatic Control*. **42(7)**, pp. 896-911, 1997

Controle misto $\mathcal{H}_2/\mathcal{H}_\infty$

~ Controle multiobjetivo \mathcal{H}_2 para j canais. Veja

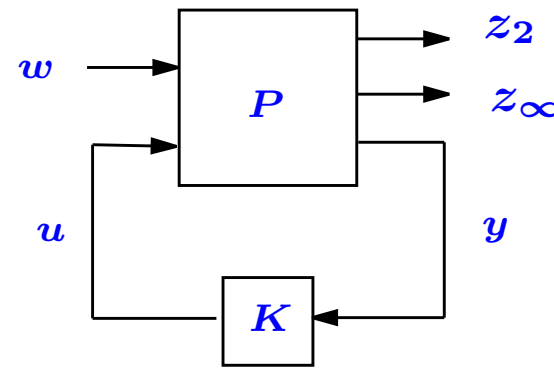
Referência: P. Apkarian, H. D. Tuan and J. Bernussou. "Continuous-time analysis, eigenstructure assignment, and \mathcal{H}_2 synthesis with enhanced linear matrix inequalities (LMI) characterization". *IEEE Transactions on Automatic Control*. **46(12)**, pp. 1941-1946, 2001

~ Controle multiobjetivo \mathcal{H}_∞ para j canais. Veja

Referência: M. A. Rotea and R. K. Prasanth. "An interpolation approach to multiobjective \mathcal{H}_∞ design". *International Journal of Control.* **65 (4)**, pp. 699-720, 1996

Controle misto $\mathcal{H}_2/\mathcal{H}_\infty$

Como obter o controlador misto para a planta generalizada abaixo



sendo o modelo descrito por:

$$\left\{ \begin{array}{lcl} \delta[x(t)] & = & Ax(t) + B_u u(t) + B_w w(t) \\ z_2(t) & = & C_{z_2} x(t) + D_{z_u 2} u(t) \\ z_\infty(t) & = & C_{z_\infty} x(t) + D_{z_u \infty} u(t) \\ y(t) & = & \mathbf{I} x(t), \quad u(t) = Ky(t) \end{array} \right.$$

Controle misto $\mathcal{H}_2/\mathcal{H}_\infty$

Formulação do problema Obter K para $\gamma > 0$ dado tal que:

$$\min_K \|T_{z_2 w}\|_2^2$$

$$\text{s.a} \quad \|z_\infty\|_2 < \gamma \|w\|_2$$

- ~~ O controlador, solução deste problema, proporciona ao sistema em malha fechada desempenho “ótimo”, para γ dado, contra distúrbios externos no canal $w \rightarrow z_2$, enquanto a robustez é garantida para todos os modelos incertos da forma $z_\infty = \Delta w$ (Teorema do ganho pequeno... se $\|\Delta\|_\infty < 1/\gamma$ então $\|z_\infty\|_2 < \gamma \|w\|_2$)

Malha fechada $T_{z_2 w} \triangleq C_{f_2}(sI - A_f)^{-1}B_w$ e $T_{z_\infty w} \triangleq C_{f_\infty}(sI - A_f)^{-1}B_w$

sendo $A_f \triangleq A + B_u K$, $C_{f_2} \triangleq C_{z_2} + D_{zu_2}K$ e $C_{f_\infty} \triangleq C_{z_\infty} + D_{zu_\infty}K$

Controle misto $\mathcal{H}_2/\mathcal{H}_\infty$

Qual é a idéia? Garantir que a restrição $\|T_{z_\infty w}\|_\infty < \gamma$ é satisfeita para algum K estabilizante, é o mesmo que satisfazer o **BRL**, ie $\exists P = P^T \succ 0$ satisfazendo

$$\begin{bmatrix} A_f P + P A_f^T & B_w & P C_{f_\infty}^T \\ B_w^T & -I & 0 \\ C_{f_\infty} P & 0 & -\gamma^2 I \end{bmatrix} \prec 0$$

Por outro lado, para o **mesmo** ganho K estabilizante, $T_{z_2 w} \in \mathbb{R}\mathcal{H}_2$, e

$$\|T_{z_2 w}\|_2^2 = \text{Traço} \left\{ C_{f_2} L_c C_{f_2}^T \right\}$$

sendo que $L_c = L_c^T \succ 0$ satisfaz: $A_f L_c + L_c A_f^T + B_w^T B_w = 0$

Controle misto $\mathcal{H}_2/\mathcal{H}_\infty$

Nota Veja que aplicando-se Schur no BRL obtém-se a Riccati

$$A_f P + P A_f^T + \mathbf{B}_w^T \mathbf{B}_w + \gamma^{-2} P C_{f_\infty}^T C_{f_\infty} P \prec \mathbf{0}$$

Comparando com a eq. do Grammiano $A_f L_c + L_c A_f^T + \mathbf{B}_w^T \mathbf{B}_w = \mathbf{0}$

Conclui-se $A_f P + P A_f^T - (A_f L_c + L_c A_f^T) + \gamma^{-2} P C_{f_\infty}^T C_{f_\infty} P \prec \mathbf{0}$

↔

$$A_f (P - L_c) + (P - L_c) A_f^T \prec - \underbrace{\gamma^{-2} P C_{f_\infty}^T C_{f_\infty} P}_{\succ \mathbf{0}}$$

↔

$$P - L_c \succ \mathbf{0} \Leftrightarrow P \succ L_c$$

∴ qualquer P factível para o BRL, fornece um limitante superior do Grammiano de Controlabilidade para a norma \mathcal{H}_2 de $T_{z_2 w}$, ie

$$\|T_{z_2 w}\|_2^2 < \text{Traço } \{C_{f_2} P C_{f_2}\}$$

Controle misto $\mathcal{H}_2/\mathcal{H}_\infty$

Estratégia? Fixar $P = L_c \dots$ para satisfazer ambos os canais e suas respectivas normas. Porém introduze-se conservadorismo...

Controle misto $\mathcal{H}_2/\mathcal{H}_\infty$ – contínuo

$$\left\{ \begin{array}{ll} \min_{X, Z, J} & \text{Traço}\{J\} \\ \text{s.a.} & \begin{bmatrix} J & C_{z_2}P + D_{zu2}Z \\ PC_{z2}^T + Z^T D_{zu2}^T & P \end{bmatrix} \succ 0 \\ & \begin{bmatrix} AP + PA^T + B_u Z + Z^T B_u^T & B_w & PC_{z\infty}^T + Z^T D_{zu\infty}^T \\ B_w^T & -I & 0 \\ C_{z\infty} X + D_{zu\infty} Z & 0 & -\gamma^2 I \end{bmatrix} \prec 0 \end{array} \right.$$

onde $K = ZP^{-1}$, $\|T_{z_2w}\|_2^2 < \text{Traço}\{J\}$ e $\|T_{z\infty w}\|_\infty < \gamma$

Controle misto $\mathcal{H}_2/\mathcal{H}_\infty$

Controle misto $\mathcal{H}_2/\mathcal{H}_\infty$ – discreto

$$\left\{ \begin{array}{ll} \min_{X, Z, J} & \text{Traço}\{J\} \\ \text{s.a.} & \begin{bmatrix} J & C_{z_2}P +_{zu2} Z \\ PC_{z_2}^T + Z^T D_{zu2}^T & P \end{bmatrix} \succ 0 \\ & \begin{bmatrix} X & 0 & XA^T + Z^T B_u^T & XC_{z_\infty}^T + Z^T D_{zu\infty}^T \\ 0 & I & B_w^T & 0 \\ AX + B_u Z & B_w & X & 0 \\ C_{z\infty} X + D_{zu\infty} Z & 0 & 0 & \gamma^2 I \end{bmatrix} \succ 0 \end{array} \right.$$

onde $K = ZP^{-1}$, $\|T_{z_2 w}\|_2^2 < \text{Traço}\{J\}$ e $\|T_{z_\infty w}\|_\infty < \gamma$

Incertezas? Imediato para incertezas politópicas

Controle misto $\mathcal{H}_2/\mathcal{H}_\infty$ - Condições relaxadas

Discreto – Referência M. C. de Oliveira, J. C. Geromel and J. Bernussou, “Extended \mathcal{H}_∞ and \mathcal{H}_∞ norm characterizations and controller parametrizations for discrete-time systems”, International Journal of Control, **75 (9)**, pp. 666-679, 2002.

Contínuo e Discreto... – Referência E. N. Gonçalves, R. M. Palhares and R. H. C. Takahashi. “Robust $\mathcal{H}_2/\mathcal{H}_\infty$ control synthesis based on controller parameter optimization”. *IEE Proceedings on Control Theory & Applications*. **152(2)**, pp. 171-176, 2005

Exercício

Questão 1 Considere o modelo abaixo para controle de nível de dois tanques de água interconectados, sujeitos a distúrbio:

$$\left\{ \begin{array}{l} \begin{bmatrix} \dot{x}_1(t) \\ \dot{x}_2(t) \end{bmatrix} = \begin{bmatrix} -3 & 2 \\ 4 & -5 \end{bmatrix} \begin{bmatrix} x_1(t) \\ x_2(t) \end{bmatrix} + \begin{bmatrix} 1 & 0 \\ 0 & 1 \end{bmatrix} \begin{bmatrix} u_1(t) \\ u_2(t) \end{bmatrix} + \begin{bmatrix} 1 & 0 \\ 0 & 1 \end{bmatrix} \begin{bmatrix} w_1(t) \\ w_2(t) \end{bmatrix} \\ \begin{bmatrix} z_1(t) \\ z_2(t) \end{bmatrix} = \begin{bmatrix} 1 & 0 \\ 0 & 1 \end{bmatrix} \begin{bmatrix} x_1(t) \\ x_2(t) \end{bmatrix} \end{array} \right.$$

Particularmente x_1 e x_2 são os níveis a serem controlados. Note que a saída controlada é composta por $z_1 = x_1$ e $z_2 = x_2$

Exercício

Define-se um novo vetor de estado

$$\hat{x}(t) = \begin{bmatrix} \hat{x}_1 \\ \hat{x}_2 \end{bmatrix} = \int_0^t \begin{bmatrix} z_1(t) - z_1^{ref}(t) \\ z_2(t) - z_2^{ref}(t) \end{bmatrix} dt$$

- Objetivo inicial óbvio: $\dot{x}(t) \rightarrow \mathbf{0}$ e $\hat{x}(t) \rightarrow \mathbf{0}$ enquanto $t \rightarrow \infty$...

Define-se $\tilde{x}(t) = [x^T(t) \quad \hat{x}^T(t)]^T$, obtendo-se o modelo **padrão**

$$\begin{cases} \dot{\tilde{x}}(t) &= A\tilde{x}(t) + B_u u(t) + B_w w(t) \\ z(t) &= C_z \tilde{x}(t) \end{cases}$$

sendo $w(t) = [w_1(t) \quad w_2(t) \quad z_1^{ref}(t) \quad z_2^{ref}(t)]$

Exercício

$$A = \begin{bmatrix} -3 & 2 & 0 & 0 \\ 4 & -5 & 0 & 0 \\ 1 & 0 & 0 & 0 \\ 0 & 1 & 0 & 0 \end{bmatrix}, \quad B_u = \begin{bmatrix} 1 & 0 \\ 0 & 1 \\ 0 & 0 \\ 0 & 0 \end{bmatrix}$$

$$B_w = \begin{bmatrix} 1 & 0 & 0 & 0 \\ 0 & 1 & 0 & 0 \\ 0 & 0 & -1 & 0 \\ 0 & 0 & 0 & -1 \end{bmatrix}, \quad C_z = \begin{bmatrix} 1 & 0 & 0 & 0 \\ 0 & 1 & 0 & 0 \end{bmatrix}$$

Exercício

Objetivos específicos:

1. Tornar o sistema em malha fechada estável
2. Obter um controlador por realimentação de estado $K \in \mathbb{R}^{2 \times 2}$ tal que

$$u(t) = K\tilde{x}(t) = \begin{bmatrix} K_1 & K_2 \end{bmatrix} \begin{bmatrix} x(t) \\ \hat{x}(t) \end{bmatrix} = K_1 x(t) + K_2 \int_0^t (z - z^{ref}) dt$$

Note que u representa um controlador PI multivariável...

3. Controlador \mathcal{H}_∞ que aloque pólos em malha fechada para o sistema aumentado no intervalo $[-2.5, -1]$
4. Resposta temporal satisfatória a uma mudança de referência de nível, z_{ref} , e carga, w_1 e w_2